

(121)

溶融 $\text{CaO}-\text{Al}_2\text{O}_3$ 系スラグの表面張力と溶鋼との
界面張力に及ぼす希化カルシウムの影響について

大阪大学工学部 工博 萩野和己・原茂太・○野城清
昭和アルミ 宇賀善代治

工 緒 言

近年、鋼の品質に対する高度の要求が強まり、新しい精錬法に大きな関心が払われてゐる。特に溶鋼の真空処理法とともに、高爐基性スラグによる溶鋼の処理法が実用に供されてゐる。

そこで本研究では、溶鋼の処理用スラグとして、その反応性、精錬作用の良好な $\text{CaO}-\text{Al}_2\text{O}_3$ 系および $\text{CaO}-\text{Al}_2\text{O}_3-\text{CaF}_2$ 系スラグに注目し、溶鋼とこれら溶融スラグ間の界面張力ならびに溶融スラグの表面張力を測定を行ない、実際操業においてスラグを選択する際の情報を得ることを目的とする。

II. 測定装置および方法

測定に用いた炉は黒鉛を発熱体とするタンマン炉で、実験は 1600°C 、アルゴン気流中で行なつた。界面張力は、溶鉄上に溶融スラグ滴を落すと同時に、そのスラグ滴の形状を撮影し、溶鉄上の溶融スラグの接触角を測定し、その時の力の釣り合から計算により求めた。また、溶融スラグの表面張力は、よく研磨した黒鉛板上に、約 0.3g の溶融スラグを滴下し、その形状から、Bashforth & Adams¹⁾ の表を用いて計算した。

用いたメタル試料は、 $\text{Fe}-0.1\% \text{C}$ 、スラグ試料は、 $\text{CaO}/\text{Al}_2\text{O}_3$ の重量比が 1.0 のものに希化カルシウムを所定の割合に配合したものである。

III. 結果および考察

図 1、図 2 にそれぞれ接触角、表面張力、界面張力の 1600°C での測定結果を示す。

図 1、図 2 から明らかなようく、希化カルシウムの増加にともない、その初期には接触角が減少し、表面張力はともに減少し、以後は、ほぼ一定の値となる。

この時の溶融スラグの表面張力の減少は、 $\text{Ca}-\text{F}$ 間の結合力が $\text{Ca}-\text{O}$ 間の結合力よりも小さいことによると思われる。即ち、

$\text{CaO}-\text{Al}_2\text{O}_3$ 系スラグの $\text{CaO}/\text{Al}_2\text{O}_3 = 1.0$ の付近では $\text{Al}_2\text{O}_7^{4-}$ のアルミニートイオンと Ca^{2+} イオンの形で存在していると考えられる。この系に希化カルシウムを添加していくと $\text{Ca}-\text{O}$ の結合が $\text{Ca}-\text{F}$ の結合に置きかえられ、そのためにはイオン間の結合が弱くなる。従って、希化カルシウムを添加して行くに際の $\text{CaO}-\text{Al}_2\text{O}_3$ 系スラグの表面張力の減少は、アルミニート間の結合が希素によって切断され、その結果、融体の構造にゆるみが生じさせることであると考える。

一方、溶鉄と溶融 $\text{CaO}-\text{Al}_2\text{O}_3-\text{CaF}_2$ スラグとの界面張力は、希化カルシウムの含有量の増加とともに増加し後、一定の値に到達する。すなわち、スラグのメタルからの分離のための仕事 W_{ad} 、希化カルシウムの含有量の増加につれて低下し、スラグの溶鉄からの分離性は改善される。

D. F. Bashforth, J. C. Adams; An Attempt to the Theories of Capillary Action (Cambridge) 1883.

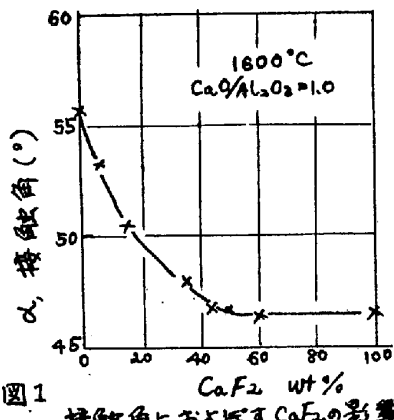


図 1 接触角におよぶ CaF_2 の影響

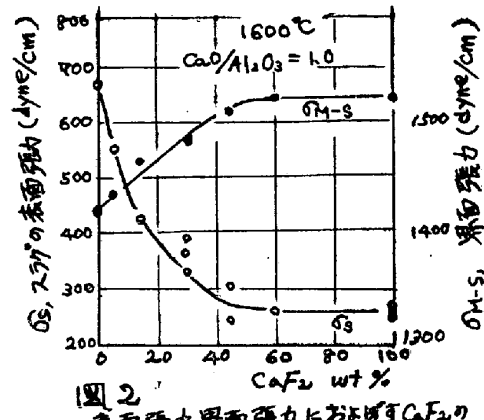


図 2 表面張力、界面張力におよぶ CaF_2 の影響